

本文引用：孙永，史兆博，刘美香，等. 山药多糖对脓毒症大鼠心肌损伤及 JAK2/STAT3 信号通路的影响[J]. 中国动脉硬化杂志, 2022, 30(8): 669-675. DOI: 10.20039/j.cnki.1007-3949.2022.08.004.

[文章编号] 1007-3949(2022)30-08-0669-07

· 实验研究 ·

## 山药多糖对脓毒症大鼠心肌损伤及 JAK2/STAT3 信号通路的影响

孙永<sup>1</sup>, 史兆博<sup>2</sup>, 刘美香<sup>2</sup>, 赵燕<sup>1</sup>

(开封市中心医院 1. 神内重症, 2. 神经内科, 河南省开封市 475000)

[关键词] 山药多糖; 脓毒症; 心肌损伤; JAK2/STAT3 信号通路

[摘要] [目的] 探索山药多糖(RDPS-I)对脓毒症大鼠心肌损伤及酪氨酸蛋白激酶 2(JAK2)/信号转导和转录激活因子 3(STAT3)信号通路的影响。[方法] 将 90 只大鼠随机分为 RDPS-I 低(1.0 g/kg)、中(2.0 g/kg)、高(3.0 g/kg)剂量组及模型组、阳性对照组、假手术组。通过取出盲肠进行结扎、穿孔的方法复制脓毒症大鼠, 造模完成后, RDPS-I 低、中、高剂量组分别给予相应剂量 RDPS-I 灌胃, 阳性对照组予以 200 mg/kg 剂量皮下注射 4 mL/kg 的氨苄西林溶液, 其余两组给予生理盐水, 每 12 h 干预 1 次, 连续干预 6 天。干预结束后, 检测大鼠血流动力学指标平均动脉压(MAP)、左心室收缩压(LVSP)、心率(HR); 苏木精-伊红(HE)染色观察脓毒症大鼠心肌组织病理学变化; TUNEL 染色检测脓毒症大鼠心肌细胞凋亡; 酶联免疫吸附法(ELISA)测定大鼠血清中炎症因子水平; Western blot 检验大鼠心肌组织中 JAK2/STAT3 信号通路蛋白表达水平。[结果] 相比于假手术组, 模型组大鼠心肌组织排列紊乱, 出现严重炎症细胞浸润现象, LVSP、HR、MAP 降低 56%、54%、55% ( $P < 0.05$ ), 血清肿瘤坏死因子  $\alpha$ (TNF- $\alpha$ )、白细胞介素 6(IL-6)、白细胞介素 1 $\beta$ (IL-1 $\beta$ )、核因子  $\kappa$ B(NF- $\kappa$ B)水平及心肌组织中 p-JAK2/JAK2、p-STAT3/STAT3 和细胞凋亡率分别增加 2.25、1.94、1.99、2.96、2.26、3.67 倍( $P < 0.05$ ); 与模型组相比, 经 RDPS-I 干预, 大鼠心肌组织排列紊乱程度、炎症细胞浸润程度均逐渐缓解, RDPS-I 低剂量组 LVSP、HR、MAP 分别增加了 0.54、0.35、0.34 倍, TNF- $\alpha$ 、IL-6、IL-1 $\beta$ 、NF- $\kappa$ B 水平和心肌组织中 p-JAK2/JAK2、p-STAT3/STAT3 及细胞凋亡率分别降低 28%、19%、18%、26%、27%、29%、25%; RDPS-I 中剂量组 LVSP、HR、MAP 分别增加了 0.92、0.67、0.83 倍, TNF- $\alpha$ 、IL-6、IL-1 $\beta$ 、NF- $\kappa$ B 水平及心肌组织中 p-JAK2/JAK2、p-STAT3/STAT3 和细胞凋亡率分别降低 45%、41%、40%、50%、49%、50%、50%; RDPS-I 高剂量组 LVSP、HR、MAP 分别增加了 1.21、1.10、1.15 倍( $P < 0.05$ ), TNF- $\alpha$ 、IL-6、IL-1 $\beta$ 、NF- $\kappa$ B 水平及心肌组织中 p-JAK2/JAK2、p-STAT3/STAT3 和细胞凋亡率分别降低 64%、63%、63%、66%、70%、66%、70% ( $P < 0.05$ )。[结论] RDPS-I 可以减轻炎症反应, 改善脓毒症大鼠心肌损伤和功能障碍, 可能与抑制 JAK2/STAT3 信号通路有关。

[中图分类号] R5; R363

[文献标识码] A

## Effects of yam polysaccharide on myocardial injury and JAK2/STAT3 signal pathway in septic rats

SUN Yong<sup>1</sup>, SHI Zhaobo<sup>2</sup>, LIU Meixiang<sup>2</sup>, ZHAO Yan<sup>1</sup>

(1. Neurological Intensive Care Unit, 2. Department of Neurology, Kaifeng Central Hospital, Kaifeng, Henan 475000, China)

[KEY WORDS] yam polysaccharide; sepsis; myocardial injury; JAK2/STAT3 signaling pathway

[ABSTRACT] Aim To explore the effects of yam polysaccharide (RDPS-I) on myocardial injury and tyrosine protein kinase 2 (JAK2)/signal transducer and activator of transcription 3 (STAT3) signaling pathway in septic rats.

Methods Ninety rats were randomly divided into: RDPS-I low (1.0 g/kg), medium (2.0 g/kg), and high (3.0 g/kg) dose groups, model group, positive control group and sham operation group. The cecal ligation and perforation method was used to establish a sepsis rat model, after the model was completed, RDPS-I low, medium and high dose groups were given corresponding dose yam polysaccharide by gavage respectively; The positive control group was given 200 mg/kg sub-

[收稿日期] 2021-12-10

[修回日期] 2022-03-02

[基金项目] 河南省医学科技攻关计划项目(LHGJ20200839)

[作者简介] 孙永,硕士研究生,副主任医师,研究方向为重症神经、重症感染,E-mail:sy1983s@163.com。

cutaneous injection of 4 mL/kg ampicillin solution; The other two groups were given normal saline, and intervened once every 12 hours, for 6 consecutive days. After the intervention, the hemodynamic indicators of the rats were measured, including mean arterial pressure (MAP), left ventricular systolic pressure (LVSP), and heart rate (HR); Hematoxylin-Eosin (HE) staining was used to observe the pathological changes of septic rat myocardium; TUNEL staining was used to detect cardiomyocyte apoptosis of septic rat; enzyme-linked immunosorbent assay (ELISA) was used to determine the levels of inflammatory cytokines in septic rat serum; Western blot was used to test the expression level of JAK2/STAT3 signaling pathway proteins in rat myocardial tissue.

**Results** Compared with the sham operation group, the myocardial tissue was disordered and occurred with severe inflammatory cell infiltration in the model group; LVSP, HR, MAP decreased by 56%, 54%, 55% ( $P < 0.05$ ). The levels of tumor necrosis factor- $\alpha$  (TNF- $\alpha$ ), interleukin-6 (IL-6), interleukin-1 $\beta$  (IL-1 $\beta$ ), and nuclear factor- $\kappa$ B (NF- $\kappa$ B) in serum and p-JAK2/JAK2, p-STAT3/STAT3 and apoptosis rates in myocardial tissue were increased by 2.25, 1.94, 1.99, 1.99, 2.96, 2.26 and 3.67 times ( $P < 0.05$ ), respectively. Compared with model group, the degree of myocardial tissue disorder and inflammatory cell infiltration were gradually relieved after RDPS-I intervention; LVSP, HR and MAP increased by 0.54, 0.35 and 0.34 times in low dose RDPS-I group, respectively; TNF- $\alpha$ , IL-6, IL-1 $\beta$ , NF- $\kappa$ B, p-JAK2/JAK2, p-STAT3/STAT3 and apoptosis rate decreased by 28%, 19%, 18%, 26%, 27%, 29%, 25%, respectively. LVSP, HR and MAP increased by 0.92, 0.67 and 0.83 times in medium dose RDPS-I group, respectively. TNF- $\alpha$ , IL-6, IL-1 $\beta$ , NF- $\kappa$ B, p-JAK2/JAK2, p-STAT3/STAT3 and apoptosis rate decreased by 45%, 41%, 40%, 50%, 49%, 50%, 50%, respectively. LVSP, HR and MAP increased by 1.21, 1.10 and 1.15 times in high dose RDPS-I group ( $P < 0.05$ ), respectively. TNF- $\alpha$ , IL-6, IL-1 $\beta$ , NF- $\kappa$ B, p-JAK2/JAK2, p-STAT3/STAT3 and apoptosis rate decreased by 64%, 63%, 63%, 66%, 70%, 66%, 70% ( $P < 0.05$ ), respectively.

**Conclusion** Yam polysaccharide can reduce inflammation, and improve myocardial injury and dysfunction in septic rats, which may be related to the inhibition of JAK2/STAT3 signaling pathway.

脓毒症是细菌、真菌等病原体入侵宿主引起的全身炎症反应综合征,可导致休克、多器官功能损伤。患者患有严重疾病,进行过重大手术或者烧伤、感染等经常引发脓毒症的发生。由于脓毒症发病率较高且发病后的治疗费用及死亡率均较高,已经严重威胁到人类生命和财产安全<sup>[1-3]</sup>。脓毒症患者引发心肌损伤也会加重患者本身的疾病,引发心血管疾病及多器官衰竭,最终导致死亡,死亡率可达70%~90%<sup>[4-5]</sup>,其治疗方法主要以降低炎症反应,减少脏器损伤为主。文献表明,酪氨酸蛋白激酶2(tyrosine protein kinase 2,JAK2)/信号转导和转录激活因子3(signal transducer and activator of transcription 3,STAT3)信号通路可以对脓毒症心肌损伤发挥拮抗作用<sup>[6]</sup>。JAK2/STAT3信号通路可以促进细胞因子介导的细胞活化,该信号通路简单、高效,一旦被激活,细胞因子结合受体,使JAK2磷酸化,进而诱导STAT3磷酸化形成二聚体,结合特定序列,调控下游相应基因表达,参与细胞的生命过程<sup>[7]</sup>。山药多糖(yam polysaccharide,RDPS-I)从山药中提取得到,多糖是最主要的生物活性成分,具有抗炎、抗癌等药理活性,在许多疾病治疗中疗效显著,但对于脓毒症的治疗鲜有报道<sup>[8]</sup>。因此,本实验采用盲肠结扎穿孔法建立脓毒症大鼠模型,探索RDPS-I对脓毒症大鼠心肌损伤以及JAK2/

STAT3信号通路的影响。

## 1 材料和方法

### 1.1 实验动物

选取清洁级SD大鼠90只,7~8周龄,雌雄各半,体质量200~230 g,购自于赛业(固安)生物科技有限公司[许可证号:SCXK(冀)2021-003]。大鼠饲养环境:22~25℃、湿度55%~75%、自由饮水进食。实验动物的使用已经通过动物伦理委员会批准并遵循国家《实验动物管理条例》。

### 1.2 实验试剂与仪器

RDPS-I(货号:90147-49-2)购自湖北实顺生物科技有限公司;辣根过氧化物酶(horseradish peroxidase, HRP)-底物联苯二胺(diaminobenzidine, DAB)(HRP-DAB)试剂盒(货号:PA110)购自杭州联科美讯生物医药技术有限公司;白细胞介素6(interleukin-6, IL-6)试剂盒(货号:TW3160)购自上海通蔚实业有限公司;上海酶联生物科技有限公司提供肿瘤坏死因子 $\alpha$ (tumor necrosis factor- $\alpha$ , TNF- $\alpha$ )试剂盒(货号:ml002859)、白细胞介素1 $\beta$ (interleukin-1 $\beta$ , IL-1 $\beta$ )(货号:ml037361)、核因子 $\kappa$ B(nuclear factor- $\kappa$ B, NF- $\kappa$ B)(货号:ml003404);TUNEL染色试剂盒、p-JAK2/JAK2,p-STAT3/STAT3

一抗(货号:ab32101、ab108596、ab267373、ab68153)均购自 Abcam 公司。

小动物超声多普勒血流仪购自广州市科之蓝仪器有限公司;酶标仪购自济南欧莱博科学仪器有限公司。

### 1.3 动物造模、分组及给药

参照刘丹等<sup>[9]</sup>使用的盲肠结扎穿孔法构建脓毒症大鼠模型:按照随机数字表法分为假手术组、模型组、RDPS-I 低、中、高剂量组以及阳性对照组,每组 15 只。将大鼠术前禁食后麻醉,于腹部正中做一约 2 cm 切口,掏出盲肠,取 4 号线结扎盲肠根部;取 16 号针头在盲肠末端与结扎部位中间对穿,排出粪便,归纳肠管并缝合伤口,术后注射适量生理盐水以补充丢失液体。假手术组不行结扎、穿孔,其余操作同上。大鼠术后 6~12 h 出现呼吸急促、高热、动作迟缓等症状,表明大鼠建模成功<sup>[10]</sup>。造模成功后,RDPS-I 低、中、高剂量组分别给予 1.0、2.0、3.0 g/kg RDPS-I 灌胃<sup>[11]</sup>;阳性对照组给予皮下注射 200 mg/kg 氯丙嗪<sup>[12]</sup>;模型组、假手术组大鼠给予等体积的生理盐水,各组大鼠每 12 h 均干预 1 次,连续干预 6 天。

### 1.4 心肌血流动力学参数

干预结束后,麻醉大鼠,同样采用仰卧位将大鼠固定于操作台上,找到大鼠颈部正中间,做一切口,将气管、左侧颈总动脉进行分离,插入气管导管,连接仪器,观察左心室压力曲线,待仪器曲线显示稳定后再记录心肌血流动力学指标心率(heart rate, HR)、左心室收缩压(left ventricular systolic pressure, LVSP)、平均动脉压(mean arterial pressure, MAP),每 3 min 测量 1 次,每组 3 次,取平均值。

### 1.5 收集样本

心肌血流动力学测定结束后,取大鼠尾部血液,离心后置于-40℃冰箱储存,用于后续大鼠血清中炎症因子含量的测定;采用颈椎脱臼法处死大鼠,剥离心肌组织,一部分置于甲醛溶液中固定,用于 HE 染色及 TUNEL 染色;另一部分于-80℃冰箱留存备用,用于 Western blot 检测。

### 1.6 HE 染色检测心肌组织病理变化

取上述固定于甲醛中的心肌组织,制作切片,行 HE 染色,封片,于显微镜下观察病理变化。

### 1.7 TUNEL 染色检测心肌细胞凋亡

取固定于甲醛中的心肌组织,制作切片,加入 TUNEL 反应液,磷酸盐缓冲液(phosphate buffered saline, PBS)清洗,加入标记荧光素抗体的 HRP 于

37℃反应,再经 PBS 缓冲液清洗,加入 DAB 底物反应,脱水,封片,于显微镜下随机选取 5 个视野观察计数并拍照,计算细胞凋亡率。

### 1.8 ELISA 检测血清中炎性因子水平

取上述置于-40℃冰箱的各组大鼠血清样本,融化后根据试剂盒说明书检测 IL-6、TNF-α、IL-1β 和 NF-κB 水平。

### 1.9 Western blot 检测大鼠心肌组织中 JAK2/STAT3 通路相关蛋白表达

取置于-80℃冰箱中各组大鼠心肌组织,加入裂解液,提取并测定总蛋白水平。分离蛋白、转膜、封闭,依次加入稀释后 p-JAK2(1:1 000)、p-STAT3(1:1 000)、JAK2(1:5 000)、STAT3(1:2 000)一抗,4℃恒温箱过夜;Tris-HCl 缓冲盐溶液(Tris-HCl buffer solution, TBST)洗涤,加入 HRP 标记的二抗(1:10 000)室温孵育 1 h, ECL 显影、定影,利用 Image J 采集并分析灰度值。

### 1.10 统计学分析

采用 SPSS 22.0 软件进行统计分析,计量资料以  $\bar{x} \pm s$  表示,多组间比较采用单因素方差分析,进一步两两比较采用 SNK-q 检验;当  $P < 0.05$  时,代表差异有统计学意义。

## 2 结 果

### 2.1 RDPS-I 对大鼠 LVSP、HR、MAP 的影响

与假手术组相比,模型组大鼠 LVSP、HR、MAP 下降了 56%、54%、55%(均  $P < 0.05$ ),RDPS-I 低剂量组 LVSP、HR、MAP 分别下降了 33%、37%、41%(均  $P < 0.05$ ),RDPS-I 中剂量组 LVSP、HR、MAP 分别下降了 16%、22%、19%(均  $P < 0.05$ )。与模型组相比,RDPS-I 低剂量组 LVSP、HR、MAP 分别增加了 0.54、0.35、0.34 倍(均  $P < 0.05$ ),RDPS-I 中剂量组 LVSP、HR、MAP 分别增加了 0.92、0.67、0.83 倍(均  $P < 0.05$ ),且 RDPS-I 高剂量组 LVSP、HR、MAP 分别增加了 1.21、1.10、1.15 倍(均  $P < 0.05$ ),RDPS-I 高剂量组各项指标与阳性对照组比较差异无统计学意义( $P > 0.05$ ;表 1)。

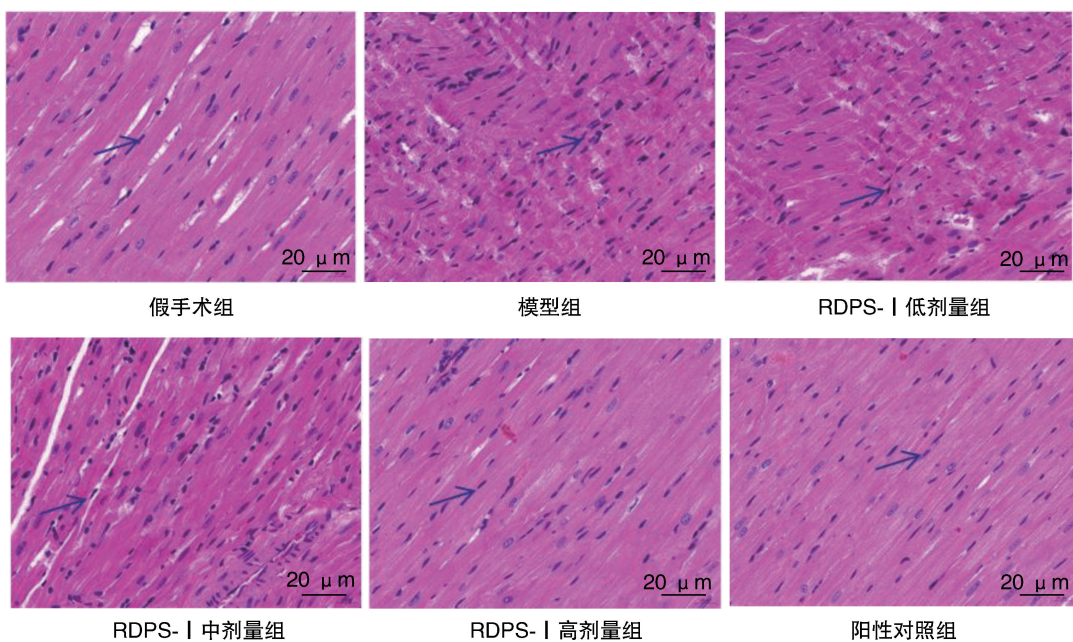
### 2.2 RDPS-I 对脓毒症大鼠心肌组织病理学变化的影响

假手术组心肌组织整齐排列,细胞结构清晰;模型组心肌组织排列紊乱,出现炎症细胞浸润、肿胀;随着 RDPS-I 剂量的增加,心肌组织排列紊乱逐渐减轻,炎症细胞浸润、肿胀逐渐得到改善(图 1)。

**表 1. 各组大鼠 LVSP、HR、MAP 的变化 (n=15)**  
**Table 1. The changes of LVSP, HR and MAP in each group (n=15)**

| 分组           | LVSP/mmHg                 | HR/(次/min)                  | MAP/mmHg                  |
|--------------|---------------------------|-----------------------------|---------------------------|
| 假手术组         | 93.48±8.78                | 433.15±44.32                | 86.46±8.68                |
| 模型组          | 40.56±4.16 <sup>a</sup>   | 200.34±21.26 <sup>a</sup>   | 38.21±3.21 <sup>a</sup>   |
| RDPS- I 低剂量组 | 62.56±6.51 <sup>ab</sup>  | 270.49±28.49 <sup>ab</sup>  | 51.05±5.51 <sup>ab</sup>  |
| RDPS- I 中剂量组 | 78.05±7.64 <sup>abc</sup> | 335.48±34.65 <sup>abc</sup> | 69.89±6.19 <sup>abc</sup> |
| RDPS- I 高剂量组 | 89.46±8.23 <sup>bcd</sup> | 420.89±43.92 <sup>bcd</sup> | 82.23±8.15 <sup>bcd</sup> |
| 阳性对照组        | 91.03±9.00 <sup>bcd</sup> | 424.49±42.21 <sup>bcd</sup> | 83.23±8.98 <sup>bcd</sup> |

注:a 为  $P<0.05$ , 与假手术组相比;b 为  $P<0.05$ , 与模型组相比;c 为  $P<0.05$ , 与 RDPS- I 低剂量组相比;d 为  $P<0.05$ , 与 RDPS- I 中剂量组相比。



**图 1. HE 染色观察各组大鼠心肌组织病理学变化**

图中箭头所指为炎症细胞。

**Figure 1. Histopathological changes of myocardium were observed by HE staining**

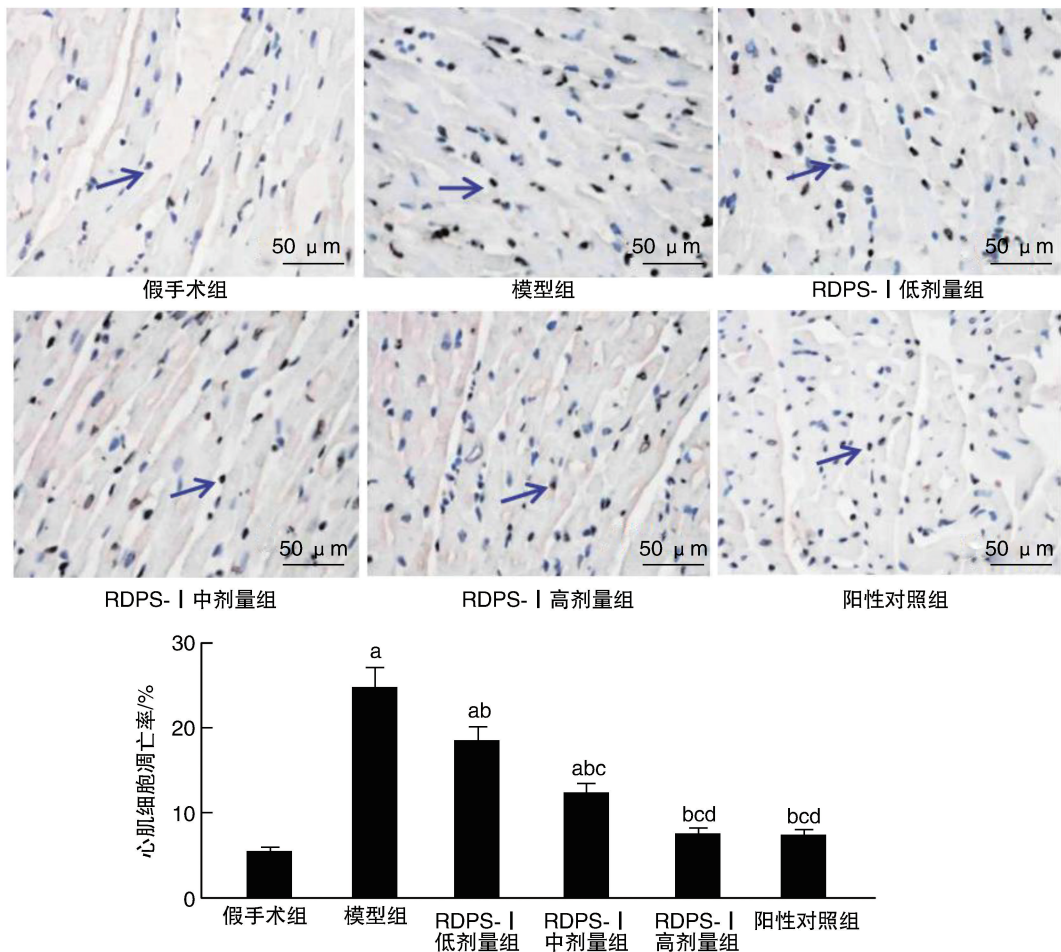
### 2.3 RDPS- I 对脓毒症大鼠心肌细胞凋亡的影响

图 2 显示 TUNEL 染色阳性细胞表现为胞核呈棕黄色颗粒沉着。与假手术组相比, 模型组和 RDPS- I 低、中剂量组细胞凋亡率分别增加 3.67、2.48、1.31 倍(均  $P<0.05$ ) ;与模型组相比, RDPS- I 低、中、高剂量组细胞凋亡率分别降低 25%、50%、70% (均  $P<0.05$ ; 图 2)。

### 2.4 RDPS- I 对脓毒症大鼠血清中 TNF-α、IL-6、IL-1β、NF-κB 水平及心肌组织中 JAK2/STAT3 蛋白表达水平的影响

与假手术组相比, 模型组 TNF-α、IL-6、IL-1β、NF-κB 含量和 p-JAK2/JAK2、p-STAT3/STAT3 水平

分别增加 2.25、1.94、1.99、1.99、2.96、2.26 倍(均  $P<0.05$ ) ;与模型组相比, RDPS- I 低剂量组 TNF-α、IL-6、IL-1β、NF-κB 含量和 p-JAK2/JAK2、p-STAT3/STAT3 分别降低 28%、19%、18%、26%、27%、29% , RDPS- I 中剂量组 TNF-α、IL-6、IL-1β、NF-κB 含量和 p-JAK2/JAK2、p-STAT3/STAT3 分别降低 45%、41%、40%、50%、49%、50% , RDPS- I 高剂量组 TNF-α、IL-6、IL-1β、NF-κB 含量和 p-JAK2/JAK2、p-STAT3/STAT3 分别降低 64%、63%、63%、66%、70%、66% (均  $P<0.05$ ) ; RDPS- I 高剂量组各项指标与阳性对照组比较差异无统计学意义 ( $P>0.05$ ; 表 2 和图 3)。

图 2. TUNEL 染色观察各组大鼠心肌细胞凋亡 ( $n=15$ )

图中箭头所指为阳性细胞。a 为  $P<0.05$ , 与假手术组相比;b 为  $P<0.05$ , 模型组相比;c 为  $P<0.05$ , 与 RDPS- I 低剂量组相比;d 为  $P<0.05$ , 与 RDPS- I 中剂量组相比。

Figure 2. Apoptosis of myocardial cells was observed by TUNEL staining ( $n=15$ )表 2. 各组大鼠血清中 TNF- $\alpha$ 、IL-6、IL-1 $\beta$  和 NF- $\kappa$ B 含量 ( $n=15$ )Table 2. The levels of TNF- $\alpha$ , IL-6, IL-1 $\beta$  and NF- $\kappa$ B in serum among all groups ( $n=15$ )

| 分组           | TNF- $\alpha$ /( ng/L)    | IL-6/( ng/L)                | IL-1 $\beta$ /( ng/L)     | NF- $\kappa$ B/( mg/L)    |
|--------------|---------------------------|-----------------------------|---------------------------|---------------------------|
| 假手术组         | 43.42±4.58                | 121.67±12.22                | 25.12±2.51                | 14.32±1.42                |
| 模型组          | 141.43±13.96 <sup>a</sup> | 357.74±35.65 <sup>a</sup>   | 75.23±7.56 <sup>a</sup>   | 42.86±4.29 <sup>a</sup>   |
| RDPS- I 低剂量组 | 101.47±9.91 <sup>ab</sup> | 290.49±29.49 <sup>ab</sup>  | 61.20±6.12 <sup>ab</sup>  | 31.42±3.15 <sup>ab</sup>  |
| RDPS- I 中剂量组 | 78.05±7.64 <sup>abc</sup> | 210.47±21.25 <sup>abc</sup> | 45.32±4.52 <sup>abc</sup> | 21.56±2.21 <sup>abc</sup> |
| RDPS- I 高剂量组 | 51.53±4.89 <sup>bcd</sup> | 131.48±13.01 <sup>bcd</sup> | 27.78±2.83 <sup>bcd</sup> | 14.68±1.48 <sup>bcd</sup> |
| 阳性对照组        | 49.46±4.95 <sup>bcd</sup> | 130.35±12.96 <sup>bcd</sup> | 26.85±2.71 <sup>bcd</sup> | 14.53±1.45 <sup>bcd</sup> |

注:a 为  $P<0.05$ , 与假手术组相比;b 为  $P<0.05$ , 与模型组相比;c 为  $P<0.05$ , 与 RDPS- I 低剂量组相比;d 为  $P<0.05$ , 与 RDPS- I 中剂量组相比。

### 3 讨 论

脓毒症是多种感染性疾病引起的并发症, 是造成患者死亡率升高的原因之一<sup>[13]</sup>。目前药物治疗主要包括抗菌药物、血管活性药物、激素类药物等,

但存在耐药性、不良反应等弊端, 因此寻求高效治疗脓毒症的方法是国内外学者们研究的重点。本实验通过盲肠结扎穿孔法建立脓毒症大鼠模型, 结果发现模型组大鼠出现呼吸急促、高热、动作迟缓等症状, 与假手术组相比, 大鼠 LVSP、HR、MAP 均

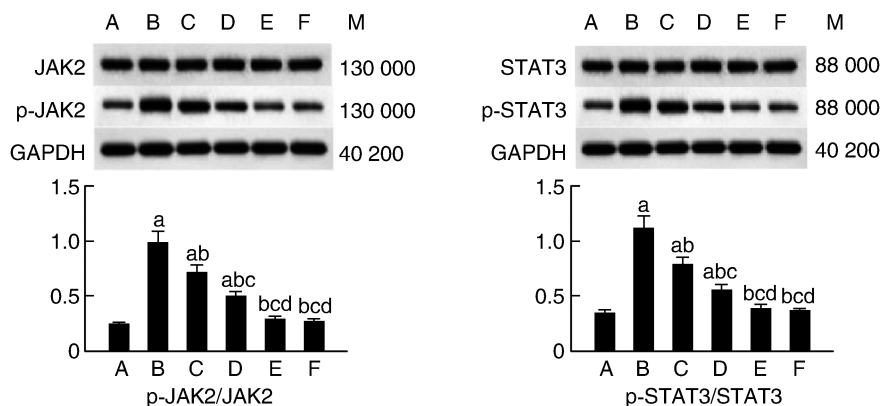


图3. 各组大鼠心肌组织中 JAK2/STAT3 蛋白表达( $n=15$ )

A为假手术组,B为模型组,C为RDPS-I低剂量组,D为RDPS-I中剂量组,E为RDPS-I高剂量组,F为阳性对照组。  
a为 $P<0.05$ ,与假手术组相比;b为 $P<0.05$ ,与模型组相比;c为 $P<0.05$ ,与RDPS-I低剂量组相比;d为 $P<0.05$ ,与RDPS-I中剂量组相比。

Figure 3. Western blot analysis of JAK2/STAT3 pathway-related protein expression in myocardial tissue of rats in each group ( $n=15$ )

下降,表明脓毒症大鼠模型建立成功,可作进一步探究。

RDPS-I具有抗炎、抗肿瘤等广泛的药理作用,应用前景广阔,尤其是抑制炎症反应方面。Guo等<sup>[14]</sup>研究发现RDPS-I可以降低氧化应激、炎症反应,保护胃黏膜损伤。Li等<sup>[15]</sup>研究证明RDPS-I可以减轻结肠病理损伤,抑制炎症通路的激活,调节肠道菌群,有效改善结肠炎症状。但采用RDPS-I治疗脓毒症心肌损伤尚未见报道。本实验发现模型组大鼠心肌组织排布紊乱且出现炎症细胞浸润,LVSP、HR、MAP显著降低,经不同剂量的RDPS-I干预后,大鼠心肌损伤得到改善,LVSP、HR、MAP逐渐恢复,呈现剂量依赖性,表现出明显的心肌保护作用。

脓毒症的发病机制复杂,与炎症介质失衡、免疫功能紊乱、组织损伤等密切相关<sup>[16-17]</sup>。TNF- $\alpha$ 、IL-6、IL-1 $\beta$ 等炎症因子相互作用产生炎症瀑布反应,导致机体环境改变,造成多器官受损。NF- $\kappa$ B作为一种转录因子,可调节许多炎症因子的表达。本实验结果发现模型组大鼠血清中TNF- $\alpha$ 、IL-6、IL-1 $\beta$ 、NF- $\kappa$ B含量和心肌细胞凋亡率均显著增加;经RDPS-I干预后,TNF- $\alpha$ 、IL-6、IL-1 $\beta$ 、NF- $\kappa$ B含量和心肌细胞凋亡率均降低,这表明RDPS-I可以抑制炎症反应,减少细胞凋亡从而保护心肌组织。研究发现炎症反应的发生发展与JAK2/STAT3信号通路密切相关。Zhen等<sup>[18]</sup>研究发现褪黑素可通过抑制JAK2/STAT3信号通路抑制氧化应激反应,改善细胞凋亡,减轻脓毒症心肌受损。戴曦<sup>[19]</sup>研究表明丹红注射液可通过抑制JAK2/STAT3信号通路的激

活,降低炎症反应,从而减轻脓毒症大鼠心肌损伤。本实验结果也发现模型组大鼠心肌组织中p-JAK2/JAK2、p-STAT3/STAT3均增加,表明脓毒症心肌受损与激活JAK2/STAT3信号通路有关。经不同剂量的RDPS-I干预后,p-JAK2/JAK2、p-STAT3/STAT3表达均降低,这表明RDPS-I可能通过抑制JAK2/STAT3信号通路,减少炎症反应及心肌细胞凋亡,改善大鼠心肌损伤。邢若等<sup>[20]</sup>研究发现在脂多糖诱导的心肌细胞模型中,RDPS-I可以降低炎症反应及细胞凋亡。接下来本研究团队将开展体外细胞实验,进一步验证RDPS-I通过抑制JAK2/STAT3信号通路降低炎症反应及细胞凋亡并对其机制进行深入探索。

综上所述,RDPS-I可以抑制脓毒症大鼠心肌组织中的炎症反应,减少心肌细胞凋亡,改善心肌损伤和功能障碍,其作用机制可能与抑制JAK2/STAT3信号通路有关。

#### [参考文献]

- CHEN H, LIU Q, LIU X, et al. Berberine attenuates septic cardiomyopathy by inhibiting TLR4/NF- $\kappa$ B signalling in rats [J]. Pharm Biol, 2021, 59(1): 121-128.
- NONG A, LI Q, HUANG Z, et al. MicroRNA miR-126 attenuates brain injury in septic rats via NF- $\kappa$ B signaling pathway [J]. Bioengineered, 2021, 12(1): 2639-2648.
- 艾波,胡念丹,李文强,等.二甲双胍对脓毒症大鼠心肌损伤保护作用的相关机制研究[J].临床急诊杂志,2018,19(6): 400-404.
- AI B, HU N D, LI W Q, et al. Effect of metformin on myocardial injury in septic rats [J]. J Clin Emerg, 2018, 19

- (6) : 400-404.
- [4] 邵艳萍, 宋璇, 姜楠, 等. lncRNA NEAT1 调控 miR-206 对缺氧复氧大鼠心肌细胞氧化应激损伤和凋亡的影响 [J]. 中国动脉硬化杂志, 2020, 28(12) : 1034-1041.
- BING Y P, SONG X, JIANG N, et al. Effects of lncRNA NEAT1 regulation of miR-206 on oxidative stress injury and apoptosis of cardiomyocytes in hypoxia and reoxygenation rats [J]. Chin J Arterioscler, 2020, 28(12) : 1034-1041.
- [5] KÖSE D, YÜKSEL T N, HALICI Z, et al. The effects of agomelatine treatment on lipopolysaccharide-induced septic lung injuries in rats [J]. Eurasian J Med, 2021, 53(2) : 127-131.
- [6] 张博, 刘越, 尹新华. 皮质抑素对脓毒症大鼠心肌凋亡的影响 [J]. 内科急危重症杂志, 2015, 21(1) : 61-63.
- ZHANG B, LIU Y, YIN X H, et al. Effect of corticostatin on myocardial apoptosis in rats with sepsis [J]. J Intern Intensive Med, 2015, 21(1) : 61-63.
- [7] 解芸菲. JAK2-STAT3 信号通路在癌细胞中作用的研究进展 [J]. 石家庄职业技术学院学报, 2018, 30(2) : 22-25.
- XIE Y F. Research progress on the role of JAK2-STAT3 signaling pathway in cancer cells [J]. J Shijiazhuang Univ Applied Technol, 2018, 30(2) : 22-25.
- [8] 王瑞娇, 马凡怡. 山药多糖的研究进展 [J]. 化学研究, 2019, 30(5) : 547-550.
- WANG R J, MA F Y. Research progress of yam polysaccharide [J]. Chem Res, 2019, 30(5) : 547-550.
- [9] 刘丹, 向兵. 脓毒症大鼠血中炎症介质水平和心肌损伤的关系 [J]. 中国医师杂志, 2015, 17(4) : 516-518.
- LIU D, XIANG B. Relationship between serum inflammatory mediators and myocardial injury in sepsis rats [J]. Chin J Physi, 2015, 17(4) : 516-518.
- [10] TANG S Y, ZHANG S W, ZHANG J, et al. Effect of early fluid resuscitation combined with low dose cyclophosphamide on intestinal barrier function in severe sepsis rats [J]. Drug Deliv Transl Res, 2018, 8(5) : 1254-1264.
- [11] 彭啸宇, 石峥, 梁晨, 等. 山药多糖对大鼠脑缺血再灌注损伤的保护作用 [J]. 中药药理与临床, 2019, 35(2) : 60-63.
- PENG X Y, SHI Z, LIANG C, et al. Protective effects of yam polysaccharide on cerebral ischemia-reperfusion injury in rats [J]. Pharma Clin Chin Materia Med, 2019, 35(2) : 60-63.
- [12] 罗晓梅, 吴玉珠, 黄培渝, 等. 丹参注射液抑制炎症和氧化应激水平保护脓毒症大鼠免受心肌损伤 [J]. 免疫学杂志, 2020, 36(7) : 585-591.
- LUO X M, WU Y Z, HUANG P Y, et al. Salvia miltiorrhiza injection inhibits inflammation and oxidative stress levels and protects against myocardial injury in septic rats [J]. Immunol J, 2020, 36(7) : 585-591.
- [13] FATTAH F, WARD P A. Complement and sepsis-induced heart dysfunction [J]. Mol Immunol, 2017, 84(SI) : 57-64.
- [14] GUO M, YU H, MENG M, et al. Research on the structural characteristics of a novel Chinese iron yam polysaccharide and its gastroprotection mechanism against ethanol-induced gastric mucosal lesion in a BALB/c mouse model [J]. Food Funct, 2020, 11(7) : 6054-6065.
- [15] LI P, XIAO N, ZENG L, et al. Structural characteristics of a mannosugcan isolated from Chinese yam and its treatment effects against gut microbiota dysbiosis and DSS-induced colitis in mice [J]. Carbohydr Polym, 2020, 250 : 116958.
- [16] COLDEWEY S M, BENETTI E, COLLINO M, et al. Elevation of serum sphingosine-1-phosphate attenuates impaired cardiac function in experimental sepsis [J]. Sci Rep, 2016, 6 : 27594.
- [17] 肖森森, 倪楚民, 郑康超, 等. 致心律失常性右室心肌病分子机制的研究进展 [J]. 医学分子生物学杂志, 2019, 16(2) : 192-197.
- XIAO M M, NI C M, ZHENG K C, et al. Research progress in molecular mechanism of arrhythmogenic right ventricular cardiomyopathy [J]. J Med Mol Biol, 2019, 16(2) : 192-197.
- [18] ZHEN G, LIANG W, JIA H, et al. Melatonin relieves sepsis-induced myocardial injury via regulating JAK2/STAT3 signaling pathway [J]. Minerva Med, 2020. DOI: 10.23736/S0026-4806.20.06626-4.
- [19] 戴曦. 丹红注射液对脓毒症大鼠心肌损伤的保护作用 [D]. 武汉: 华中科技大学, 2019.
- DAI X. Protective effect of Danhong injection on myocardial injury in septic rats [D]. Wuhan: Huazhong University of Science and Technology, 2019.
- [20] 邢若, 王鹏, 李兴杰. 山药多糖对 LPS 诱导的心肌 H9C2 细胞炎症因子表达和细胞凋亡的影响及机制 [J]. 中国免疫学杂志, 2021, 37(6) : 683-688.
- XING R, WANG P, LI X J. Effects of Yam polysaccharide on LPS-induced inflammatory cytokines and apoptosis of H9C2 cells and its mechanism [J]. Chin J Immunol, 2021, 37(6) : 683-688.

(此文编辑 许雪梅)